

A New Multifocus Image Fusion Method Using Contourlet Transform

Fateme Vakili Moghadam, Hamid Reza Shahdoosti

روش جدید ادغام تصاویر چندزومه با استفاده از تبدیل کانتورلت

فاطمه وکیلی مقدم^۱، حمید رضا شاهدوستی

۱- گروه مهندسی برق، دانشگاه صنعتی همدان

Abstract

A new multifocus image fusion approach is presented in this paper. First the contourlet transform is used to decompose the source images into different components. Then, some salient features are extracted from components. In order to extract salient features, spatial frequency is used. Subsequently, the best coefficients from the components are selected by the maximum selection rule. Finally, the inverse contourlet transform is applied to the selected coefficients. Experiments show the superiority of the proposed method.

Keywords: Contourlet transform, multifocus image fusion, spatial frequency, maximum selection rule.

خلاصه

در این مقاله تمرکز اصلی ما بر روی ادغام تصاویر چند زومه می باشد. ادغام تصاویر چندزومه به مفهوم ترکیب دو یا چند تصویر برای رسیدن به خروجی مطلوب می باشد. اخیراً روش های ادغام تصویر بسیاری برای تصاویر چندزومه به کار می رود. در این مقاله برای ادغام تصاویر از روش تبدیل موجک و تبدیل کانتورلت و چند روش ترکیبی استفاده شده است و در نهایت خروجی هر کدام از این الگوریتم ها مورد مقایسه قرار گرفته است.

کلمات کلیدی: ادغام تصاویر چند زومه، تبدیل موجک، تبدیل کانتورلت، تغییرات مکانی.

1 مقدمه

تصاویر، توصیف حقیقی از اشیا هستند. وقتی که تصاویر با دوربین گرفته می شوند محدودیت هایی از دوربین در آن ها دیده می شود. یکی از این محدودیت ها فاصله کانونی است که در این صورت تنها اشیایی که در فاصله کانونی دوربین می باشند به درستی دیده می شوند و مابقی تصاویر به صورت مات دیده می شوند ادغام تصاویر فرایند جمع آوری اطلاعات از چندین تصویر به یک تصویر ادغام شده برای فراهم آوردن توانایی های تفسیر بیشتر است. ادغام تصویر به طور وسیعی در پردازش تصاویر پزشکی، حوزه نظامی، سنجش از راه دور استفاده می شود. [1-3]

در سنجش از راه دور، ماهواره های کاوشگر زمینی اطلاعات تصویری را از قسمت های مختلف سطح زمین در زمان های مختلف تهیه می کنند برای بهره برداری موثر از این اطلاعات متنوع، از فناوری ادغام اطلاعات استفاده می شود. [3-4]

روش‌های ادغام اولیه، مستقیماً، ادغام را بر روی تصاویر مرجع انجام می‌دهد، یکی از ساده‌ترین روش‌های ادغام متوسط پیکسل به پیکسل تصاویر مرجع را می‌گیرد. این روش ساده اغلب با کاهش کانتراست همراه است. بامعرفی تبدیل هرم در سال 1975 روش‌های پیشرفته‌تری پدیدار شدند مشخص شد که اگر ادغام در حوزه تبدیل انجام شود، نتایج بهتری به دست می‌آید. با پیشرفت تئوری موجک، تجزیه‌ی موجک جای تجزیه هرمی را برای ادغام تصویر گرفت. [5] با پیشرفت تئوری کانتورلت نتایج بسیار عالی حاصل شد.

روش‌های مختلف و متنوعی که در ادغام تصاویر کاربرد دارند روش‌هایی مانند منطق فازی [6]، روش (LTM) که از یک مدل جریان با رویکرد چشمک‌زن روی دامنه شرت (انسداد برشی)، ارائه می‌شود [7]، روش NSST* که بر مبنای تبدیل شرت و پالس شبکه عصبی پیشنهاد شده است [8]. در این مقاله 4 روش برای ادغام تصاویر ارائه شده است.

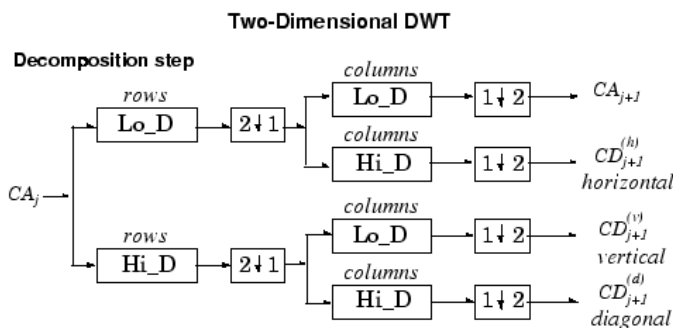
2 ادغام تصاویر با استفاده از تبدیل موجک

1-2 تبدیل موجک دو بعدی گسسته

تبدیل موجک برای تجزیه سیگنال به مولفه‌های فرکانسی به کار می‌رود. در تبدیل موجک دو بعدی ابتدا دو فیلتر بالاگذر و پایین گذر را بر روی سطرها اعمال می‌کنیم و کاهش نرخ نمونه برداری انجام می‌دهیم. دو سیگنال با فرکانس‌های بالا و پایین ایجاد می‌شود و دوباره فیلتر بالاگذر و پایین گذر را بر روی ستون‌ها اعمال می‌کنیم و کاهش نرخ نمونه برداری انجام می‌دهیم در نهایت تصویر به 4 بخش فرکانسی تبدیل می‌شود.

2-2 گام‌های ادغام تصاویر با استفاده از تبدیل موجک [9]

برای ادغام تصاویر از دو تصویر ورودی A و B استفاده شده است.



شکل 1- دیاگرام تبدیل موجک



شکل 2- نمایش ضرایب موجک

گام اول: محاسبه تبدیل موجک تصاویر ورودی

*-nonsampled shearlet transform

ضرایب موجک تصویر اول را با $[A_1, B_1, C_1, D_1]$ و تصویر دوم را با $[A_2, B_2, C_2, D_2]$ نمایش می دهیم. گام دوم: ضرایب فرکانس بالای تصاویر ورودی را مقایسه می کنیم و مقدار ضریب بزرگتر را در تصویر خروجی قرار می دهیم. برای ضرایب فرکانس پایین، میانگین ضریب تصاویر ورودی گرفته می شود و در تصویر خروجی نمایش داده می شود.

$$\begin{cases} B_3 = B_1 & |B_1| > |B_2| \\ B_3 = B_2 & \text{otherwise} \end{cases} \quad \begin{cases} C_3 = C_1 & |C_1| > |C_2| \\ C_3 = C_2 & \text{otherwise} \end{cases} \quad \begin{cases} D_3 = D_1 & |D_1| > |D_2| \\ D_3 = D_2 & \text{otherwise} \end{cases}$$

$$A_3 = \frac{A_1 + A_2}{2}$$

(1)

گام سوم: در نهایت برای مشخص شدن تصویر ادغام شده عکس تبدیل موجک گرفته می شود.



شکل 3 - تصویر ادغام شده با روش تبدیل موجک

3 ادغام تصویر با استفاده از تغییرات مکانی [10]*

گام اول: تجزیه کردن تصاویر ورودی A و B به بلوک های $N \times M$ بلوک های مربوط به تصویر A و B به ترتیب با A_i و B_i نمایش می دهیم.

$$M=N=8$$

گام دوم: محاسبه تغییرات مکانی (SF) برای هر بلوک

$$CF = \sqrt{\frac{1}{MN} \sum_{n=1}^N \sum_{m=1}^M (F(m,n) - F(m-1,n))^2} \quad RF = \sqrt{\frac{1}{MN} \sum_{n=1}^N \sum_{m=1}^M (F(m,n) - F(m,n-1))^2}$$

$$SF = \sqrt{RF^2 + CF^2}$$

(2)

تغییرات مکانی مربوط به A_i و B_i به ترتیب با SF_i^A و SF_i^B نمایش می دهیم.

* - spatial frequency

گام سوم: مقایسه تغییرات مکانی متناظر بلوک های A_i و B_i

$$\begin{cases} A_i & SF_i^A > SF_i^B + TH \\ B_i & SF_i^A < SF_i^B - TH \\ (A_i + B_i) / 2 & otherwise \end{cases} \quad (3)$$

TH یک آستانه است که برابر 1.75 تعریف می کنیم.



شکل 4 - تصویر ادغام شده با روش تغییرات مکانی

4 ادغام تصاویر با استفاده از تبدیل موجک و تغییرات مکانی

گام اول: محاسبه تبدیل موجک تصاویر ورودی [11]

گام دوم: تجزیه کردن ضرایب تبدیل موجک تصاویر ورودی A و B به بلوک های $N \times M$

بلوک های مربوط به تصویر A شامل D_1 تا D_4 .

بلوک های مربوط به تصویر B شامل D_5 تا D_8 .

گام سوم: محاسبه تغییرات مکانی (SF) برای هر بلوک با استفاده از روابط CF و RF و SF.

گام چهارم: مقایسه تغییرات مکانی متناظر بلوک های ضرایب تبدیل موجک و از دو ضریب با فرکانس پایین میانگین گرفته می شود.

$$\begin{cases} F_i = D_i & SF_i^A > SF_i^B + TH \\ F_i = D_{i+4} & SF_i^A < SF_i^B - TH \\ F_i = (D_i + D_{i+4}) / 2 & otherwise \end{cases} \quad (4)$$

گام پنجم: در نهایت برای مشخص شدن تصویر ادغام شده عکس تبدیل موجک گرفته می شود.



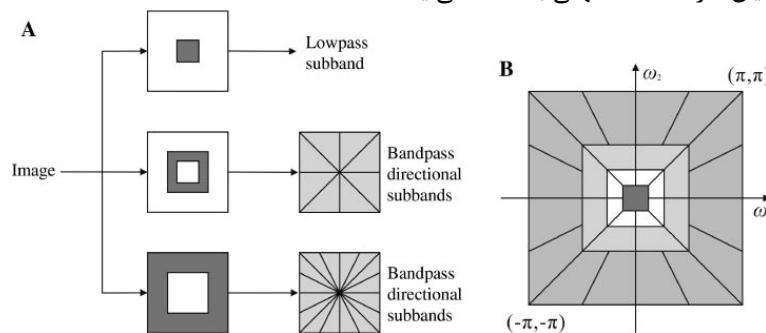
شکل 5- تصویر ادغام شده با روش تبدیل موجک و تغییرات مکانی

5 روش ادغام تصاویر با استفاده از تبدیل کانتورلت و تغییرات مکانی

5-1 تبدیل کانتورلت*

در تبدیل کانتورلت هم در فرکانس‌های مختلف و هم در جهت‌های مختلف تجزیه می‌شود و چون در جهت‌های مختلف تجزیه می‌شود نسبت به تبدیل موجک ضرایب تنک‌تری ایجاد می‌شود.

تبدیل کانتورلت در سال 2005 توسط دو ویتزلی پیشنهاد شد. در مرحله تجزیه از یک هرم لاپلاسین (LP) و یک فیلتر بانک جهتی (DFB) استفاده نموده. که در ابتدا تصویر اصلی توسط هرم لاپلاسین به یک تصویر تقریب که تصویر پایین گذر نامیده شده و جزئیات تصویر که تصویر میان‌گذر نامیده شده تجزیه می‌شود و سپس توسط اعمال فیلتر بانک جهتی روی تصویر میان‌گذر اطلاعات جهتی به دست می‌آید. [12]



شکل 6 - دیاگرام تبدیل کانتورلت

5-2 گام های ادغام تصاویر با استفاده از تبدیل کانتورلت

گام اول: ابتدا تبدیل کانتورلت را برای تصاویر ورودی محاسبه می‌کنیم [13].

گام دوم: تجزیه کردن ضرایب تبدیل کانتورلت تصاویر ورودی A و B به بلوک‌های $N \times M$ بلوک‌های مربوط به تصویر A شامل D_1 تا D_8 .

* - contourlet transform

بلوک‌های مربوط به تصویر B شامل D_9 تا D_{16} .
گام سوم: محاسبه تغییرات مکانی (SF) برای هر بلوک با استفاده از روابط CF و RF و SF. .
گام چهارم: مقایسه تغییرات مکانی متناظر بلوک های ضرایب تبدیل کانتورلت و از دو ضریب با فرکانس پایین میانگین گرفته می شود.

$$\begin{cases} F_i = D_i & SF_i^A > SF_i^B + TH \\ F_i = D_{i+8} & SF_i^A < SF_i^B - TH \\ F_i = (D_i + D_{i+8}) / 2 & otherwise \end{cases} \quad (5)$$

گام پنجم: در نهایت برای مشخص شدن تصویر ادغام شده عکس تبدیل کانتورلت گرفته می شود [14].



شکل 7 - تصویر ادغام شده با روش تبدیل کانتورلت

6 ارزیابی عددی

برای درک عددی اختلاف بین تصاویر ورودی و خروجی در روش های ادغام تصاویر مقدار خطای باید محاسبه گردد.

برای محاسبه این مقدار خطا از رابطه $RMSE^*$ استفاده می‌کنیم. به این مفهوم که ابتدا مقدار خطای تصویر اول با تصویر ادغام شده $RMSE_1$ و مقدار خطای تصویر دوم را با تصویر ادغام شده $RMSE_2$ به صورت مجزا محاسبه می‌کنیم و در نهایت میانگین گرفته می‌شود [15].

$$RMSE_1 = \sqrt{\frac{1}{I \times J} \sum_{i=1}^I \sum_{j=1}^J (A(i, j) - F(i, j))^2} \quad (6)$$

$$RMSE_2 = \sqrt{\frac{1}{I \times J} \sum_{i=1}^I \sum_{j=1}^J (B(i, j) - F(i, j))^2} \quad (7)$$

$$RMSE = \frac{RMSE_1 + RMSE_2}{2} \quad (8)$$

مقادیر $RMSE$ محاسبه شده برای چهار روش بالا در جدول زیر نمایش داده شده است. همان طور که مشاهده می‌کنیم اگر چه روش تبدیل موجک مقدار خطای کمتری دارد و از نظر معیار عددی بهتر عمل کرده است و بعد روش تبدیل کانتورلت و بعد روش تغییرات مکانی و در نهایت روش تبدیل موجک و تغییرات مکانی مقدار خطای بالایی دارد، اما از نظر معیار چشمی روش تبدیل کانتورلت مناسب‌تر می‌باشد. این اختلاف نتایج به دلیل ضعفی است که در معیار ارزیابی عددی وجود دارد [16].

جدول 1- ارزیابی عددی

روش ادغام تصویر	RMSE
تبدیل موجک	7.905
تغییرات مکانی	10.6426
تبدیل موجک و تغییرات مکانی	22.8594
تبدیل کانتورلت و تغییرات مکانی	9.0371

7 نتیجه گیری

در این مقاله یک روش جدید به منظور ادغام تصاویر چند زومه پیشنهاد شد. با استفاده از تغییرات فرکانسی در حوزه کانتورلت ضرایب برتر را استخراج کردیم و در نهایت با استفاده از قانون انتخاب ماکزیمم، ضرایب برتر را بدست آوردیم. روش پیشنهادی با چند روش متداول مانند روش موجک و روش پنجره مکانی مقایسه شدند و نشان دادیم که عملگر روش پیشنهادی بهتر از سایر روش‌های موجود است.

* - Root Mean Square Error

REFERENCES

- [1] Shahdoosti, H.R. and Ghassemian, H., 2015. Fusion of MS and PAN images preserving spectral quality. *IEEE Geoscience and Remote Sensing Letters*, 12(3), pp.611-615.
- [2] Maruthi, R. and Sankarasubramanian, K., 2008. Pixel level multifocus image fusion based on fuzzy logic approach. *Asian Journal of Information Technology*, 7(4), pp.168-171.
- [3] Li, S. and Yang, B., 2008. Multifocus image fusion using region segmentation and spatial frequency. *Image and Vision Computing*, 26(7), pp.971-979.
- [4] Shahdoosti, H.R. and Ghassemian, H., 2016. Combining the spectral PCA and spatial PCA fusion methods by an optimal filter. *Information Fusion*, 27, pp.150-160.
- [5] Shahdoosti, H.R. and Ghassemian, H., 2012, May. Spatial PCA as a new method for image fusion. In *Artificial Intelligence and Signal Processing (AISP), 2012 16th CSI International Symposium on* (pp. 090-094). IEEE.
- [6] Zhang, Q. and Guo, B.L., 2009. Multifocus image fusion using the nonsubsampling contourlet transform. *Signal Processing*, 89(7), pp.1334-1346.
- [7] Yang, B. and Li, S., 2010. Multifocus image fusion and restoration with sparse representation. *IEEE Transactions on Instrumentation and Measurement*, 59(4), pp.884-892.
- [8] De, I. and Chanda, B., 2006. A simple and efficient algorithm for multifocus image fusion using morphological wavelets. *Signal Processing*, 86(5), pp.924-936.
- [9] Shahdoosti, H.R. and Khayat, O., 2016. Image denoising using sparse representation classification and non-subsampling shearlet transform. *Signal, Image and Video Processing*, 10(6), pp.1081-1087.
- [10] Li, S. and Yang, B., 2008. Multifocus image fusion by combining curvelet and wavelet transform. *Pattern Recognition Letters*, 29(9), pp.1295-1301.
- [11] Li, H., Manjunath, B.S. and Mitra, S.K., 1995. Multisensor image fusion using the wavelet transform. *Graphical models and image processing*, 57(3), pp.235-245.
- [12] Shahdoosti, H.R. and Javaheri, N., 2017. Pansharpening of Clustered MS and Pan Images Considering Mixed Pixels. *IEEE Geoscience and Remote Sensing Letters*, 14(6), pp.826-830.
- [13] Khayat, O., Shahdoosti, H.R. and Khosravi, M.H., 2008, February. Image classification using principal feature analysis. In *Proceedings of the 7th WSEAS International Conference on Artificial intelligence, knowledge engineering and data bases* (pp. 198-203). World Scientific and Engineering Academy and Society (WSEAS).
- [14] Huang, W. and Jing, Z., 2007. Evaluation of focus measures in multi-focus image fusion. *Pattern recognition letters*, 28(4), pp.493-500.
- [15] Wan, T., Zhu, C. and Qin, Z., 2013. Multifocus image fusion based on robust principal component analysis. *Pattern Recognition Letters*, 34(9), pp.1001-1008.
- [16] Shahdoosti, H.R. and Hazavei, S.M., 2017. Image denoising in dual contourlet domain using hidden Markov tree models. *Digital Signal Processing*, 67, pp.17-29.